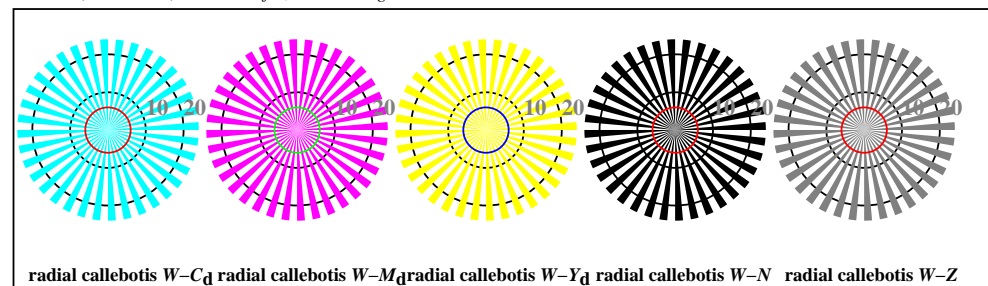
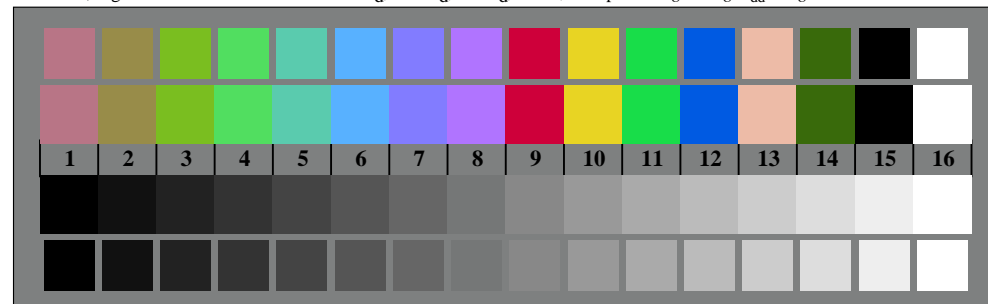




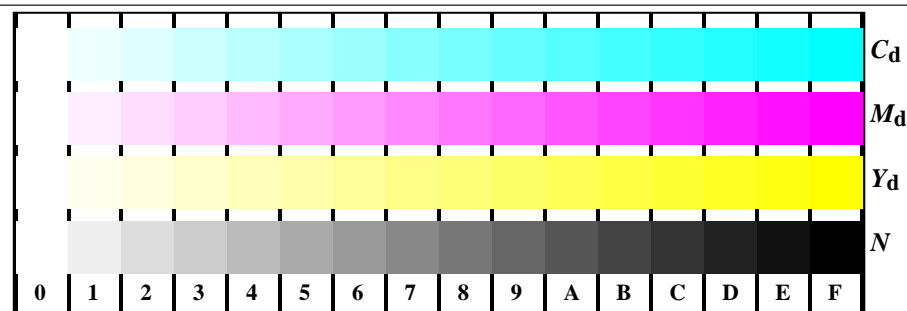
AF280-3, B1W\*dd: ; PS settransfer, 3 colorimage



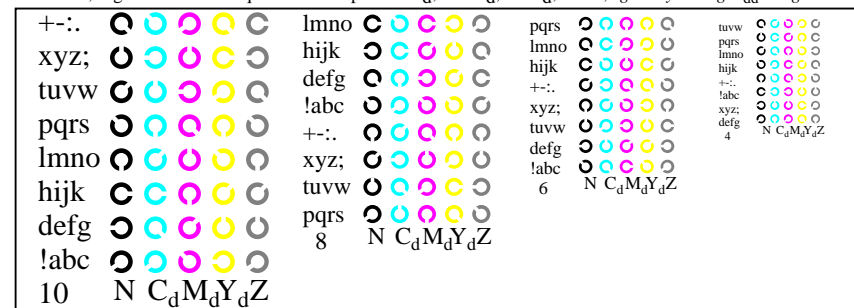
AF280-5, Fig. B2W\*dd: radial callebotis W-C<sub>d</sub>; W-M<sub>d</sub>; W-Y<sub>d</sub>; W-N; PS operator rgb->rgb\*<sub>dd</sub> setrgbcolor



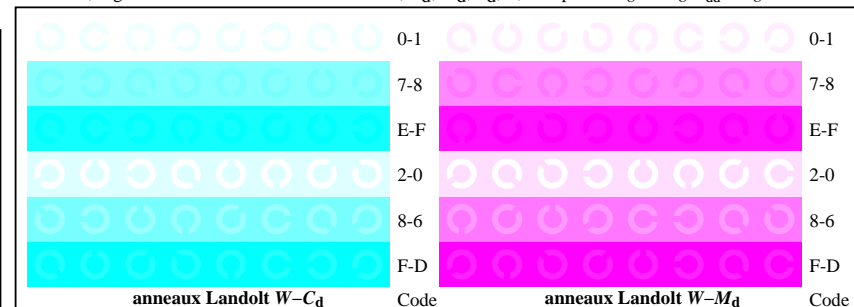
AF280-7, Fig. B3W\*dd: 14 CIE test couleurs et 2 + 16 gris étapes (sf); rgb/cmy0->rgb\*<sub>dd</sub> setrgbcolor



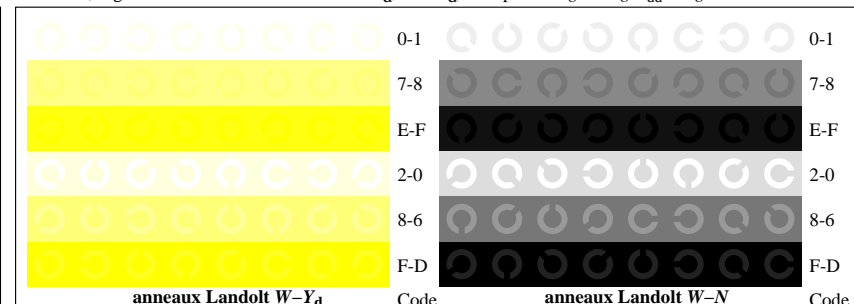
AF281-1, Fig. B4W\*dd: 16 équidistants étapes W-C<sub>d</sub>; W-M<sub>d</sub>; W-Y<sub>d</sub>; W-N; rgb/cmy0->rgb\*<sub>dd</sub> setrgbcolor



AF281-3, Fig. B5W\*dd: code et Landolt anneauN; C<sub>d</sub>; M<sub>d</sub>; Y<sub>d</sub>; Z; PS operator rgb->rgb\*<sub>dd</sub> setrgbcolor



AF281-5, Fig. B6W\*dd: anneaux Landolt W-C<sub>d</sub>; W-M<sub>d</sub>; PS operator rgb->rgb\*<sub>dd</sub> setrgbcolor



AF281-7, Fig. B7W\*dd: anneaux Landolt W-Y<sub>d</sub>; W-N; PS operator rgb->rgb\*<sub>dd</sub> setrgbcolor